

УДОСКОНАЛЕНА МЕТОДИКА І ПРИЛАД ДЛЯ ВИМІРЮВАННЯ МІЖФАЗНОГО НАТЯГУ МЕТОДОМ ОБЕРТОВОЇ КРАПЛІ

© Кісіль Р. І., Чеховський С. А., 1999

Івано-Франківський державний технічний університет нафти і газу

Запропонована методика вимірювання міжфазного натягу на границі розділу рідина 1 - рідина 2, яка виключає вплив оптичного коефіцієнту збільшення системи рідина 1 - рідина 2 - прозорі стінки вимірювального капіляру на результати розрахунку значення міжфазного натягу, а також структурна схема приладу, який реалізує вказану методику.

Відома методика Воннегута [1] визначення міжфазного натягу (МН) методом обертової краплі вимагає вимірювання найбільшого діаметру обертової краплі при умові, що її довжина є в чотири і більше разів більшою за діаметр обертової краплі. Незважаючи на те, що ця методика є надзвичайно простою, виміряне значення найбільшого діаметру краплі є більшим від її фактичного діаметру в M разів, де M - коефіцієнт збільшення оптичної системи, який залежить від властивостей досліджуваних рідин і конструктивних розмірів капіляру.

Методика Принсена [2] не вимагає вимірювання розмірів обертової краплі, які пов'язані з її діаметром в процесі обертання. Однак вимагає задання краплі певного наперед відомого об'єму, що є досить важкою процедурою і тому практично така методика не знайшла використання.

Методика Слаттері [3] також як і методика Воннегута вимагає вимірювання діаметру обертової краплі в процесі визначення МН і тому має такі ж недоліки, як і методика Воннегута.

Тому актуальною є розробка такої методики визначення МН, яка б не вимагала ні задання краплі заданого об'єму, ні попереднього визначення коефіцієнту збільшення вказаної оптичної системи M , ні досягнення умови, що довжина обертової краплі повинна бути більшою від її діаметру в чотири і більше разів.

Суть запропонованої методики полягає в наступному (рис.1). В процесі обертання краплі невідомого об'єму вимірюють найбільший її радіус $y_{\text{вим.0}}$, який з реальним її радіусом $y_{p,0}$ пов'язаний таким чином:

$$y_{\text{вим.0}} = M \cdot y_{p,0} \quad (1)$$

де $y_{\text{вим.0}}$ і $y_{p,0}$ - відповідно виміряне і реальне значення радіусу обертової краплі.

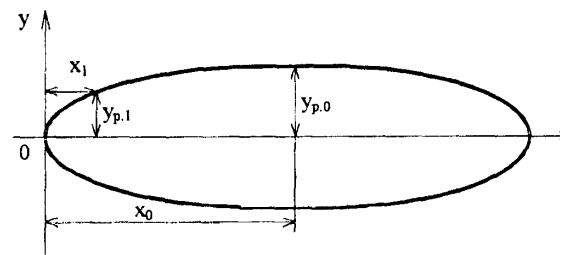


Рис. 1. Удосконалена методика визначення МН методом обертової краплі.

Вимірюють також віддаль x_0 від омболічної точки т.О обертової краплі до її найбільшого радіусу (x_0 - половина всієї довжини обертової краплі, виміряне значення якої не залежить від коефіцієнту M , оскільки всі розміри краплі, які вимірюються в площині, яка проходить вздовж капіляру). Крім цього вимірюють радіус цієї ж обертової краплі $y_{\text{вим.1}}$ на певній віддалі x_1 від омболічної точки О, яка є меншою від x_0 , наприклад, $x_1 = 0.1 x_0$. При цьому

$$y_{\text{вим.1}} = M \cdot y_{p,1} \quad (2)$$

Значення $y_{\text{вим.1}}/y_{\text{вим.0}}$, яке дорівнює відношенню $y_{p,1}/y_{p,0}$, не залежить від коефіцієнта M при умові, що відношення внутрішнього радіуса вимірювального капіляру до його зовнішнього радіусу не буде більшим від 0.3, а відношення y_0 до внутрішнього радіуса трубки не буде більшим 0.8 [4]. Для обертових крапель різних розмірів вказане відношення при вказаній вище умові буде залежати тільки від параметру a^3 , який в свою чергу визначається на основі міжфазного натягу σ , різниці густин рідких фаз $\Delta\rho$ і частоти обертання краплі ω таким чином [5]:

$$a^3 = \frac{\sigma}{\Delta\rho \cdot \omega^2} \quad (3)$$

Пропонується значення σ визначати на основі

конкретних значень $\Delta\rho$, ω і відношення $u_{вим.1}/u_{вим.0}$ для заданого відношення x_1/x_0 .

З метою одержання конкретного виду залежності $\sigma = (\Delta\rho, \omega, x_0, y_{p.1}/y_{p.0})$ для заданого значення відношення x_1/x_0 для всіх можливих значень a^3 пропонується наступне. Для кожного із значень заданого безрозмірного параметра R_0/a , де R_0 - радіус кривизни обертової краплі в т.) і який може змінюватися в діапазоні від 0.5 до $2 \cdot \sqrt[3]{4}/3$ в процесі розрахунку геометричних параметрів обертової краплі:

- визначають безрозмірну половину довжини всієї обертової краплі x_0/a і відповідні їй значення $y_{p.0}/a$. Для цього в процесі розрахунку параметрів обертової краплі (рис. 1) кут ϕ змінюють від 0 до $\pi/2$ шляхом його збільшення на величину $\Delta\phi$,

- задаються і визначають значення x_1/a , наприклад, $x_1/a = 0.1 \cdot x_0/a$;

- повторно для цього ж значення R_0/a знову розраховують геометричні параметри обертової краплі до тих пір, поки параметр x/a в процесі розрахунку не стане дещо більшим раніше визначеного значення x_1/a ;

- з метою визначення значення $y_{p.1}/a$ саме для значення x_1/a , яке було раніше визначено, здійснюють додаткові розрахунки в околиці точки x_1/a до тих пір, поки різниця між значенням x_1/a і значенням x/a не буде меншою наперед заданого значення, наприклад, $|x/a - x_1/a|/(x_1/a) \leq 10^{-6}$;

- знаходять для заданого значення параметра R_0/a відношення $y_{p.1}/a$ до $y_{p.0}/a$, тобто $y_{p.1}/y_{p.0}$;

- аналогічні розрахунки здійснюють для всіх інших можливих значень безрозмірного параметра R_0/a ;

- аналогічні розрахунки здійснюють для інших значень $x_1/a = f(x_0/a)$, наприклад, $(x_1/a)/(x_0/a) = 0,2; 0,3; 0,4; 0,5; 0,6$;

- визначають, для якого із відношень $(x_1/a)/(x_0/a)$ найбільшою є зміна параметра $y_{p.1}/y_{p.0}$;

- для найбільшого відношення $(x_1/a)/(x_0/a)$ на основі отриманих значень x_0/a отримують апроксимаційну залежність виду $x_0/a = f(y_{p.1}/y_{p.0})$;

- так як з одного боку $a^3 = \sigma(\Delta\rho \cdot \omega^2)$, а з іншого $a = x_0/f(y_{p.1}/y_{p.0})$, отримаємо, що

$$\sqrt[3]{\sigma(\Delta\rho \cdot \omega^2)} = x_0 / f(y_{p.1}/y_{p.0}), \quad (4)$$

звідки

$$\sigma = \Delta\rho \cdot \omega^2 \cdot x_0 / f(y_{p.1}/y_{p.0}). \quad (5)$$

Результати розрахунку значень $y_{p.1}/y_{p.0}$ для різних значень x_1/x_0 від 0,1 до 0,6 через $\Delta(x_1/x_2) = 0,1$ приведені в табл. 1. Аналіз цих даних показав (рис. 2), що найбільша зміна параметру $y_{p.1}/y_{p.0}$ при певній зміні x_0/a має місце

для $(x_1/a)/(x_0/a) = x_1/x_0 = 0,1$.

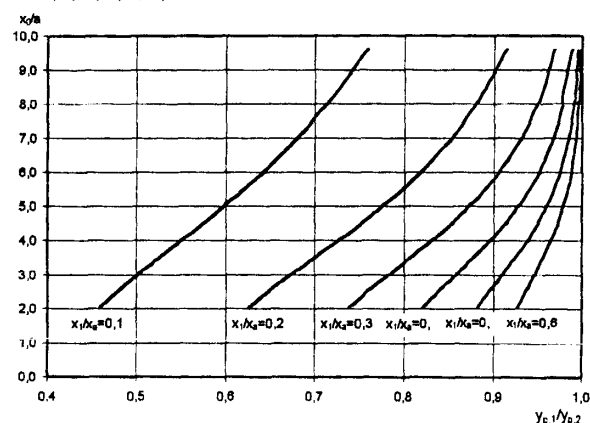


Рис. 2. Залежність $x_0/a = f(y_{p.1}/y_{p.0})$ для різних відношень обертової краплі x_1/x_0 .

Тому для подальшої апроксимації вибираємо із даних табл. 1 тільки дані x_0/a і y_1/y_0 для $x_1/x_0 = 0.1$. Апроксимацію вказаних даних здійснюємо за допомогою параболічної і кубічної залежностей методом найменших квадратів. Слід відмітити, що для апроксимації був вибраний діапазон зміни даних x_0/a від 1,9979 до 9,5952 і діапазон y_1/y_0 від 0.45937 до 0.75909. Це відповідає зміні параметру x_0/y_0 від 1,4808 до 6,0448.

Результати апроксимації залежностями виду

$$x_0/a = f(y_{p.1}/y_{p.0}) = \sum_{i=1}^n (y_{p.1}/y_{p.0})^i \cdot a_i, \quad (6)$$

де $n=2$ для квадратичної залежності і $n=3$ для кубічної залежності разом із абсолютними похибками в точках і сумами квадратів відхилень на всьому діапазоні значень $y_{p.1}/y_{p.0}$ приведені в табл. 2.

Отримані значення коефіцієнтів квадратичної і кубічної залежностей виду

$$x_0/a = \sum_{i=0}^n a_i (y_{p.1}/y_{p.0})^i$$
 є такими:

- квадратична залежність: $a_0 = -1,3737$; $a_1 = -2,3250$; $a_2 = 21,6262$;

- кубічна залежність: $a_0 = -35,5217$; $a_1 = 173,0161$; $a_2 = -274,2075$; $a_3 = 164,1571$.

З результатів табл. 2, в якій наведені дані метрологічного аналізу видно, що кубічна залежність має значно меншу похибку, ніж квадратична залежність. Про це свідчать значення величини суми квадратів відхилень S , яку розраховують так

$$S = \sum_{i=1}^n [(x_0/a)_i - (x_0/a)_i]^2, \quad (7)$$

Таблиця 1 — Значення y_1/y_0 при різних співвідношеннях обертової краплі x_1/x_0

| 0,1 | 0,2 | 0,3 | 0,4 | 0,5 | 0,6 | x_0/a | x_0/y_0 |
|-----------|-----------|-----------|-----------|------------|------------|---------|-----------|
| 0,4593685 | 0,6262971 | 0,7387341 | 0,8207080 | 0,8818559 | 0,9274384 | 1,9979 | 1,480854 |
| 0,4614566 | 0,628649 | 0,7409418 | 0,8225759 | 0,8833798 | 0,9284143 | 2,0557 | 1,50777 |
| 0,4638572 | 0,6313411 | 0,7434540 | 0,8246899 | 0,8849641 | 0,9295713 | 2,1217 | 1,538926 |
| 0,4668124 | 0,6346715 | 0,7466131 | 0,8273242 | 0,8870332 | 0,9309727 | 2,1984 | 1,575796 |
| 0,4704621 | 0,6387729 | 0,7504777 | 0,8305852 | 0,8895336 | 0,9327011 | 2,2904 | 1,620765 |
| 0,4751901 | 0,644087 | 0,7554594 | 0,8347868 | 0,8926952 | 0,9349055 | 2,4052 | 1,678071 |
| 0,4817945 | 0,6514863 | 0,7623395 | 0,8405980 | 0,8970962 | 0,9378733 | 2,5585 | 1,756375 |
| 0,486308 | 0,6565297 | 0,7670385 | 0,8445110 | 0,9000816 | 0,9399402 | 2,6599 | 1,80921 |
| 0,4922652 | 0,6631908 | 0,7732077 | 0,8496802 | 0,9040054 | 0,9425783 | 2,7902 | 1,87820 |
| 0,5008578 | 0,6727406 | 0,7820709 | 0,8570193 | 0,9095564 | 0,9463323 | 2,9730 | 1,977085 |
| 0,5157774 | 0,6891653 | 0,7971194 | 0,8693944 | 0,9187561 | 0,9525368 | 3,2820 | 2,148678 |
| 0,526774 | 0,7012271 | 0,8080245 | 0,8782055 | 0,9253392 | 0,9568915 | 3,5051 | 2,275589 |
| 0,5491146 | 0,6500065 | 0,8294623 | 0,8952907 | 0,93870066 | 0,9649686 | 3,9579 | 2,539416 |
| 0,5583861 | 0,6598887 | 0,8380331 | 0,9020398 | 0,9425196 | 0,9680926 | 4,1465 | 2,651350 |
| 0,574174 | 0,6766185 | 0,8523139 | 0,9130434 | 0,9502196 | 0,9729455 | 4,4728 | 2,847210 |
| 0,5900064 | 0,6932107 | 0,8659899 | 0,9232869 | 0,9572335 | 0,9772843 | 4,8085 | 3,051031 |
| 0,5911946 | 0,6944744 | 0,8669670 | 0,9240626 | 0,9577491 | 0,9776058 | 4,8338 | 3,066554 |
| 0,5951753 | 0,6985989 | 0,8702847 | 0,926520 | 0,9594243 | 0,9786344 | 4,9198 | 3,119198 |
| 0,6019445 | 0,7056625 | 0,8759184 | 0,9306436 | 0,9621232 | 0,9803010 | 5,0675 | 3,209732 |
| 0,6088982 | 0,7128662 | 0,8815265 | 0,9346876 | 0,9648750 | 0,9818998 | 5,2214 | 3,304433 |
| 0,6151783 | 0,7193271 | 0,8864787 | 0,9382115 | 0,9671136 | 0,9832406 | 5,3631 | 3,391882 |
| 0,6241974 | 0,7285137 | 0,8933898 | 0,9431244 | 0,9702983 | 0,9851491 | 5,5693 | 3,5195 |
| 0,6359791 | 0,7405443 | 0,9021811 | 0,9491698 | 0,9741113 | 0,9873714 | 5,8472 | 3,6227 |
| 0,6498201 | 0,8258565 | 0,9119187 | 0,955707 | 0,9781058 | 0,9895893 | 6,1849 | 3,902484 |
| 0,6775942 | 0,8507754 | 0,9298953 | 0,9672803 | 0,9849325 | 0,9933174 | 6,9051 | 4,353153 |
| 0,6814801 | 0,8541352 | 0,9322365 | 0,9686712 | 0,9856908 | 0,9936965 | 7,0134 | 4,421042 |
| 0,6857233 | 0,8578002 | 0,9346990 | 0,9701859 | 0,9865742 | 0,9941381 | 7,1306 | 4,494587 |
| 0,6905963 | 0,8619690 | 0,9375394 | 0,9718886 | 0,9875205 | 0,9946426 | 7,2663 | 4,579750 |
| 0,6962879 | 0,8667045 | 0,9407576 | 0,9737821 | 0,9885927 | 0,99514721 | 7,4313 | 4,683326 |
| 0,7025648 | 0,8718886 | 0,9441049 | 0,9757389 | 0,9896024 | 0,9956519 | 7,6138 | 4,797984 |
| 0,7114682 | 0,879080 | 0,9487082 | 0,9783869 | 0,9909893 | 0,9963453 | 7,8863 | 4,969286 |
| 0,7227647 | 0,8880348 | 0,9542562 | 0,9814126 | 0,992565 | 0,9971016 | 8,02341 | 5,188075 |
| 0,7590878 | 0,9145719 | 0,9695711 | 0,989227 | 0,9962201 | 0,998677 | 9,5952 | 6,044805 |

де $(x_0/a)_i$ - значення параметру $(x_0/a)_i$, яке розраховують за допомогою відповідної квадратичної чи кубічної залежностей в i -й точці; n - кількість точок.

Таким чином для подальшого використання приймаємо таку залежність між x_0/a і $y_{p,1}/y_{p,0}$:

$$x_0/a = -35.5217 + 173.0161 \cdot (y_{p,1}/y_{p,0}) - 274.2075 \cdot (y_{p,1}/y_{p,0})^2 + 164.1571 \cdot (y_{p,1}/y_{p,0})^3. \quad (8)$$

Значення міжфазного натягу на основі (8) розраховують таким чином:

$$\sigma = \Delta\rho \cdot \omega^2 \cdot x_0^3 / (x_0/a), \quad (9)$$

де (x_0/a) - значення, які розраховують на основі вимірних значень $y_{p,1}$ і $y_{p,0}$ за допомогою (8).

Структурна схема удосконаленого приладу для вимірювання міжфазного натягу методом обертової краплі, яка реалізує запропоновану методу, приведена на рис. 3 і включає такі основні блоки і вузли:

1 - вимірювальна камера, в якій встановлений

калібрована по внутрішньому і зовнішньому діаметрах трубка 8;

2 - вимірювальна фоточувлива лінійка із зарядним зв'язком ЛФ33, яка дозволяє вимірювати відповідні раніше вказані параметри обертової краплі із високою точністю ($\Delta \leq 10^{-6}$ м);

3 - блок вимірювання діаметра обертової краплі на основі її зображення через фокусуючу оптичну систему 14;

4 - кроковий двигун, який призначений для переміщення лінійки 2 в процесі вимірювання розмірів обертової краплі;

5 - блок керування роботою крокового двигуна в процесі вимірювання розмірів обертової краплі;

6 - електронний блок задання частоти обертання вимірювальної трубки із досліджуваними рідинами;

7 - синхронний двигун для безпосереднього обертання вимірювальної трубки 8;

Таблиця 2 - Результати обчислення похибок квадратичної та кубічної залежностей

| Вхідні дані | | Квадратична залежність | | | Кубічна залежність | | |
|-------------|--------|------------------------|---------|-----------------------|--------------------|-------------|--------------------------|
| Yi/Yo | Xo | X'o | X'o-Xo | (X'o-Xo) ² | X''o | X''o-Xo | (X''o-Xo) ² |
| 0,459369 | 1,9979 | 2,1218 | 0,1239 | 1,5351E-02 | 2,00601 | 8,0872E-03 | 6,5402E-05 |
| 0,461457 | 2,0557 | 2,1585 | 0,1028 | 1,0573E-02 | 2,0580 | 2,3079E-03 | 5,3264E-06 |
| 0,463857 | 2,1217 | 2,2010 | 0,0793 | 6,2859E-03 | 2,1173 | -4,3912E-03 | 1,9283E-05 |
| 0,466812 | 2,1984 | 2,2536 | 0,0552 | 3,0461E-03 | 2,1896 | -8,8136E-03 | 7,7680E-05 |
| 0,470462 | 2,2904 | 2,3191 | 0,0287 | 8,2279E-04 | 2,2778 | -1,2615E-02 | 1,5914E-04 |
| 0,47519 | 2,4052 | 2,4048 | -0,0004 | 1,7369E-07 | 2,3904 | -1,4836E-02 | 2,012E-04 |
| 0,481795 | 2,5585 | 2,5261 | -0,0324 | 1,0490E-03 | 2,5446 | -1,3863E-02 | 1,9219E-04 |
| 0,486308 | 2,6599 | 2,6101 | -0,0498 | 2,4786E-03 | 2,6482 | -1,1702E-02 | 1,3694E-04 |
| 0,492265 | 2,7902 | 2,7223 | -0,0679 | 4,6056E-03 | 2,7827 | -7,4668E-03 | 5,5753E-05 |
| 0,500858 | 2,973 | 2,8869 | -0,0861 | 7,4124E-03 | 2,9729 | -1,3399E-04 | 1,7954E-08 |
| 0,515777 | 3,282 | 3,1802 | -0,1018 | 1,0355E-02 | 3,2937 | 1,1701E-02 | 1,3692E-04 |
| 0,526774 | 3,5051 | 3,4026 | -0,1025 | 1,0505E-02 | 3,5242 | 1,9134E-02 | 3,6610E-04 |
| 0,549115 | 3,9579 | 3,8705 | -0,0874 | 7,6439E-03 | 3,9830 | 2,5056E-02 | 6,781E-04 |
| 0,558386 | 4,1465 | 4,0710 | -0,0755 | 5,7038E-03 | 4,1716 | 2,5091E-02 | 6,957E-04 |
| 0,574174 | 4,4728 | 4,4210 | -0,0518 | 2,6871E-03 | 4,4935 | 2,0740E-02 | 4,3013E-04 |
| 0,590006 | 4,8083 | 4,7828 | -0,0255 | 6,5219E-04 | 4,8207 | 1,2383E-02 | 1,5333E-04 |
| 0,591195 | 4,8338 | 4,8104 | -0,0234 | 5,4979E-04 | 4,8455 | 1,17E-02 | 1,3728E-04 |
| 0,595175 | 4,9198 | 4,9032 | -0,0166 | 2,7460E-04 | 4,9291 | 9,726E-03 | 8,5981E-05 |
| 0,601945 | 5,0675 | 5,0627 | -0,0048 | 2,669E-05 | 5,0726 | 5,0673E-03 | 2,5678E-05 |
| 0,608898 | 5,2214 | 5,2287 | 0,0073 | 5,726E-05 | 5,2221 | 6,9904E-04 | 4,8866E-07 |
| 0,615178 | 5,3631 | 5,3803 | 0,0172 | 2,9607E-04 | 5,3593 | -3,8328E-03 | 1,4690E-05 |
| 0,624197 | 5,5693 | 5,6011 | 0,0318 | 1,0098E-03 | 5,5603 | -9,0084E-03 | 8,1151E-05 |
| 0,635979 | 5,8472 | 5,8948 | 0,0476 | 2,2628E-03 | 5,8311 | -1,6065E-02 | 2,5809E-04 |
| 0,64982 | 6,1849 | 6,2475 | 0,0626 | 3,9144E-03 | 6,1633 | -2,1633E-02 | 4,799E-04 |
| 0,677594 | 6,9051 | 6,9802 | 0,0751 | 5,6399E-03 | 6,8853 | -1,9766E-02 | 3,9071E-04 |
| 0,68148 | 7,0134 | 7,0854 | 0,0720 | 5,1808E-03 | 6,9932 | -2,020E-02 | 4,0822E-04 |
| 0,685723 | 7,1306 | 7,2010 | 0,0704 | 4,9524E-03 | 7,1131 | -1,7506E-02 | 3,0645E-04 |
| 0,690596 | 7,2663 | 7,3347 | 0,0684 | 4,6766E-03 | 7,2536 | -1,686E-02 | 1,6094E-04 |
| 0,696288 | 7,4313 | 7,4922 | 0,0609 | 3,7041E-03 | 7,4217 | -9,5911E-03 | 9,1989E-05 |
| 0,702565 | 7,6138 | 7,6675 | 0,0537 | 2,8789E-03 | 7,6123 | -1,411E-03 | 2,3751E-06 |
| 0,711468 | 7,8863 | 7,9190 | 0,0327 | 1,0709E-03 | 7,8923 | 6,0039E-03 | 3,6046E-05 |
| 0,722765 | 8,2341 | 8,2431 | 0,0090 | 8,1754E-05 | 8,2651 | 3,0988E-02 | 9,6024E-04 |
| 0,75908,8 | 9,5952 | 9,3227 | -0,2725 | 7,4238E-02 | 9,6122 | 1,7036E-02 | 2,9024E-04 |
| | | | | S ₂ =0,20 | | | S ₃ =6,99E-03 |

9 - блок стробоскопа, який призначений для синхронізованого короткочасного освітлення трубки 8 в процесі її обертання з метою вимірювання відповідних розмірів обертової краплі;

10 - електронний блок керування роботою стробоскопа з метою вимірювання і задання частоти

обертання трубки 8 в діапазоні частот від 10 до 250 Гц;

11 - електронний блок вимірювання та стабілізації заданого значення температури у вимірвальній камері 1;

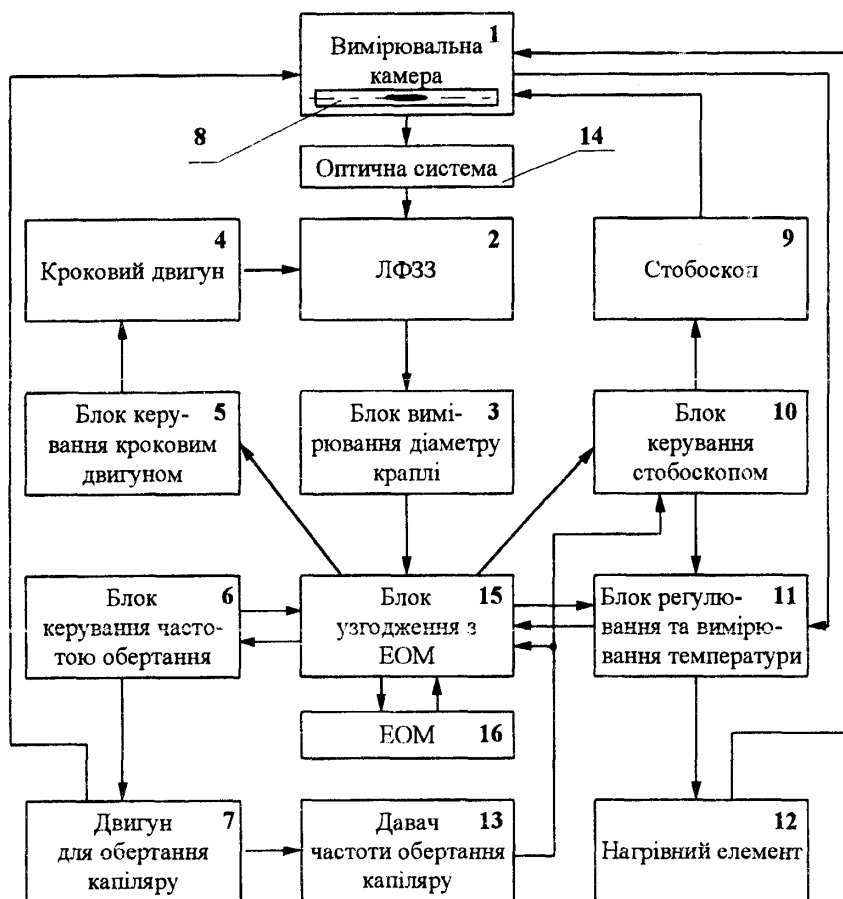


Рис. 3. Структурна схема удосконаленого приладу для вимірювання міжфазного натягу методом обротової краплі.

12 - нагрівний елемент, який розміщений безпосередньо в камері 1 і який безпосередньо здійснює стабілізацію заданого значення температури в камері 1;

13 - первинний перетворювач реальної частоти обертання трубки 8 із досліджуваними рідинами;

15 - електронний блок узгодження електронних блоків приладу із вхідними блоками персонального комп'ютера;

16 - персональний комп'ютер, який здійснює відповідну обробку всіх вхідних сигналів і розрахунок значення σ згідно залежності (9).

Значення різниці густин досліджуваних рідких фаз $\Delta\rho$ вводиться в оперативну пам'ять персонального комп'ютера безпосередньо за допомогою його клавіатури.

1. Vonnegut B. Rotating Bubble Method for Determination of Surface and Interfacial Tension.- Rev. Sci. Instrum., No. 13, 1942, P. 6-9.

2. Princen H. M., Zia I. Y. Z., Mason S. G. Measurement of Interfacial Tension from the Shape of a Rotating Drop.- J. Colloid Interface Sci. No. 23, 1967., P. 99-107.

3. Slattery J. C., Chen J.-D. Alternative Solution for Spinning Drop Interfacial Tensiometer.- J. Colloid Interface Sci., Vol. 64, No. 2, 1978, P. 371-373.

4. Кісіль Р. І. Вплив коефіцієнта збільшення оптичної системи на результати вимірювання міжфазного натягу методом обротової краплі // Методи та прилади контролю якості. - 1998. - № 2. - С. 6-8.

5. Адамсон А. Физическая химия поверхностей. - М.: Мир, 1979.